

## 吹送流における自転と成層の効果

京都大学防災研究所 正員 村本嘉雄 正員 大久保賢治  
東海旅客鉄道(株) ○正員 堤 要二

**1.はじめに** 琵琶湖南湖の吹送流観測<sup>1)</sup>で認められた成層時に表層流が風向から右偏する現象は、非回転系では解釈できないものである。無次元数  $E = \nu / f H^2$  ( $\nu$ :渦動粘性係数  $f$ ;コリオリパラメータ  $H$ ;水深) に着目し、水理実験と気象学の相似則から、この偏向現象が地球自転効果によることを検証する。

**2.回転管路実験** 管径  $D = 2\text{ cm}$  の塩ビ管路系を回転台上に設置し、直線部  $2.7\text{ m}$  間の圧力差を傾斜マノメータのビデオ解析 (0.1mm単位)、平均流速  $V$  を流量センサーで測定した。抵抗係数  $\lambda$  と  $Re = V D / \nu$  の関係を図-1に示す。回転に伴う抵抗増加は  $Re = 10^4$  で微小となるが、層流域では既往の実験値<sup>2)</sup>と同様に  $\lambda \propto Re^{-1}$  の関係が維持され抵抗増加が顕著に現れる。一方、 $\lambda Re$  と管路エクマン数  $E = \nu / f D^2$  の関係を従来の結果<sup>3)-4)</sup>と併せ図-2に示す。 $\lambda Re$  は  $E$  の減少とともに増加する。本実験は湖流で重要な  $E_v = 10^{-3} \sim 10^{-2}$  の範囲にあり、抵抗増加は図中の太線  $\lambda Re = 64 + 4 E^{-1/2}$  で表せる。

**3.吹送流の領域の区分と遷移** 水温と濁度の鉛直分布の時間変化から渦動粘性係数  $\nu$  の鉛直分布を推定し、成層の強化に伴う  $\nu$  の減少を現地で確認した<sup>5)</sup>。水深  $H$  と惑星境界層の厚さ  $h = u_* \eta_* / f$  の比

$$\theta = H/h = \beta f H^2 / \nu = \beta E_v^{-1}$$

$$\nu = \beta \gamma u_* H, \quad \gamma = \gamma (\eta_*), \quad \beta = O(10^{-2}),$$

$$\eta_* = (1 + a \mu_*)^{-1/2}, \quad a = 0.26, \quad \mu_* = u_* / f L,$$

( $L$ :オブコフ長、 $\mu_*$ :表面ロスピ一数、 $\eta_*$ :安定パラメータ<sup>6)</sup>) に注目し、2つの極端な条件を考える。

(1) 弱風・成層・深水条件;  $u_* = O(0.1\text{cm/s})$ 、

$$\gamma = O(10^{-1}) \text{ では } \theta = O(1), \quad E_v = O(10^{-2})$$

(2) 強風・非成層・浅水条件;  $u_* = O(1\text{cm/s})$

$$\gamma = 1 \text{ では } \theta = O(10^{-2}), \quad E_v = O(1),$$

すなわち、 $E_v$  の変化は  $\mu_*$  ( $u_*$  と  $L$ ) に支配される。これを模式的に示したのが図-3である。 $\mu_*$  線と交わる直線 (A) は、 $f = 10^{-4}(\text{s}^{-1})$  における浮力束が一定 ( $u_*^3 = f L$ ) の条件を示し、熱的条件が一定でも  $\mu_*$  が大きく変化することがわかる。(1)は深水、(2)は浅水条件の代表的状況を表し、 $L = H$  を境に現象は遷移する。(1)の吹送流は自転の効く顕著なスパイラル構造となり、これが本研究で注目する流速分布である。(2)では応力の回転が無視でき、流速分布は非回転系の対数則に近いものになる。

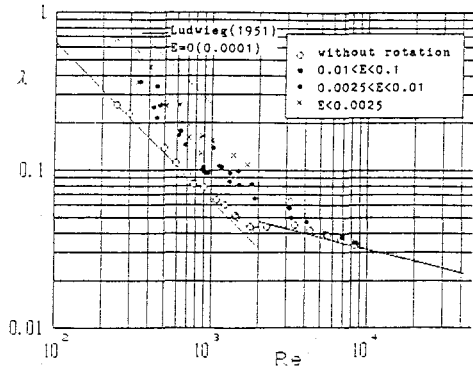


図-1 抵抗係数  $\lambda$  とレイノルズ  $Re$  の関係

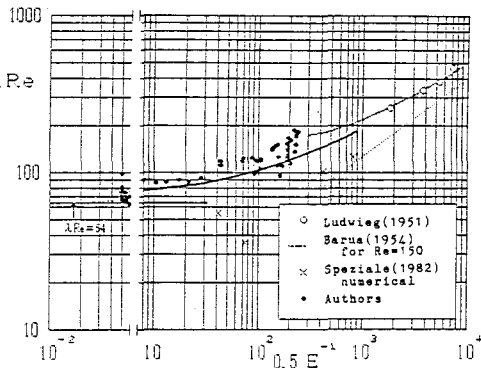


図-2  $\lambda Re$  と管路エクマン数  $E$  の関係

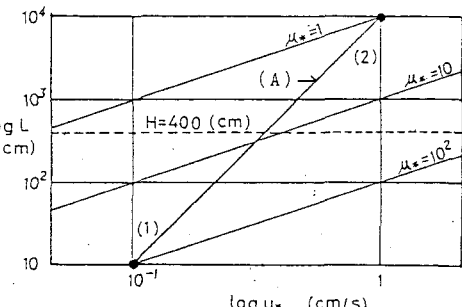


図-3 回転効果に注目した吹送流の区分図

**4. 混合過程**  $\mu_*$  は一種の Richardson 数であり、成層破壊と関係する。シア関数  $\mu$  を用いて流速分布から  $L$  を推定し、観測値の  $\mu_*$  と成層指標の変化を求めた。これらを表層流速とともに図-4に示す。成層時は  $L = 10 \sim 100$  (cm)、 $\mu_* = 10 \sim 100$  であり、こうした  $\mu_*$  の広範な動きは  $L$  の変動による。中段上は表層二次流成分（風下方向右向きを正）、下は表層全流速（風下方向を図の上向き）を示す。積分浮力  $B = \sum g_i d_i$  と  $Ri_* = B / u_*^2$  を成層指標として用いた。観測中2回の成層が現れるが、風速 ( $u_*$ ) の増加に伴って  $Ri_*$  が低下し  $B$  も減少する。浅水および深水条件の中間範囲は成層が破壊する遷移混合条件で、現実に限界値に近い  $Ri_*$  ( $\approx 10$ ) が出現し、激しい混合が生じている。これを連行過程として既往の公式<sup>7)</sup>と合致することも確認した。

**5. 流れの抵抗と偏向特性** 図-5は偏向の顯著な代表的流速分布（風向成分  $u/u_*$ ；点線、直交成分  $v/u_*$ ；実線、1時間平均値）である。各成分の表層値を、それぞれ流速係数及び二次流強度とみなせば、8及び-10の程度であり、主流（風向成分）の抵抗係数は増大することになる。こ

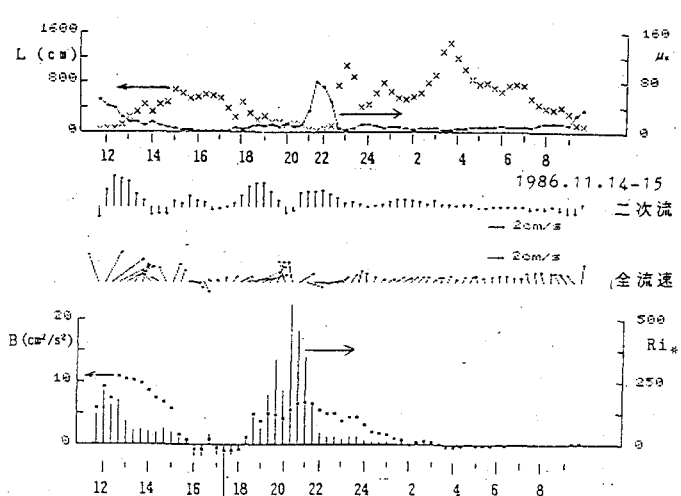


図-4 ロスビー数、表層流速、成層指標の時系列

(上段 ■:  $\mu_*$  ×:  $L$ 、 下段 ■:  $C$  | :  $Ri_*$ )

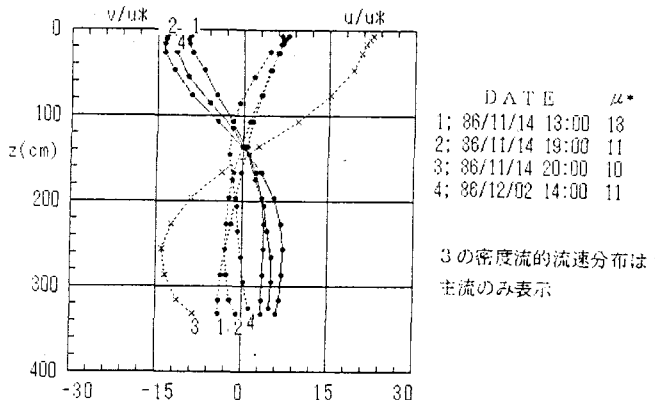


図-5 流速の風向成分と直交成分の無次元鉛直分布

れは回転効果の増大とともに二次流が強化し、主流の抵抗が増加するというロスビー数相似則の傾向に従っており、2.の水理実験で得られた結果とも一致する。ただし、直交成分も含めた全流速の抵抗係数は滑面範囲にある<sup>1)</sup>。観測でみられた大きな偏向は、深水から混合条件へ移るときに現れており、成層破壊の時間規模（数時間程度）は持続する。一方、浅水から混合条件に移る場合（ $u_*$  減少）は密度流的な流速分布となる。

**6. おわりに** 回転管路実験では  $f$  の変化により  $E$  が変化する。 $\nu = v$  とみなせる層流範囲では  $f$  を大きくして  $\theta = O(1)$  と保つことにより二次流が生じる。乱流では  $\theta = O(10^{-2})$  以下となり、本実験装置の回転速度 (Max  $f = 1.2(s^{-1})$ ) では回転効果は現れなかったが、より高速の  $f$  を与えれば  $\theta = O(1)$  となり、回転効果が生じるであろう。一方、現地では成層  $L$  による  $\nu$  の広範な変化によって  $E$  あるいは  $\mu_*$  が変化し、水深4m程度の浅水湖においても、大きな偏向（二次流）が生じる。従って、成層時には吹送流の計算や現地観測値の解析において、偏向現象を無視できないといえる。

参考文献 1) 大久保・村本：京大防災研年報、第30号B-2、1987. 2) Ludwieg: Ingen. Archiv, Vol. 65, 1951.

3) Barua: Proc. R. Soc. Lond. A227, 1954. 4) Speziare: J. F. M., 122, 1982. 5) 大久保・村本：第32回水講、1988.

6) McPhee: Boundary-Layer Met., 21, 1981. 7) Kato・Phillips: J. F. M., 37, 1969.